

CrMoVNbFe_x高熵合金微观组织结构与力学性能

王江 黄维刚

(四川大学材料科学与工程学院 成都 610065)

摘要 通过XRD, SEM, EDS分析和显微硬度测试,研究了Fe含量对CrMoVNbFe_x高熵合金铸态组织的相结构变化、微观组织和力学性能的影响。结果表明,随Fe含量的增加,合金相结构由单一的bcc结构固溶体逐步转化为bcc和 σ 两相结构。合金的铸态组织为典型树枝晶,Mo主要分布在枝晶内,Fe和Cr主要分布在枝晶间,随Fe含量的增加,Nb在枝晶间的含量增加。随Fe含量的增加,合金的组织显著细化,而且显著提高合金的硬度,最高硬度达到HV950。

关键词 金属材料, 高熵合金, 相结构, 微观组织, 力学性能

分类号 TG146

文章编号 1005-3093(2016)08-0609-05

Microstructure and Mechanical Properties of CrMoVNbFe_x High-entropy Alloys

WANG Jiang HUANG Weigang*

(College of Materials Science and Engineering, Sichuan University, Chengdu 610065, China)

Manuscript received August 17, 2015; in revised form November 17, 2015.

*To whom correspondence should be addressed, Tel: 13699011340, E-mail: huangwg56@163.com

ABSTRACT The effect of Fe content on the phase constituent, microstructure and mechanical properties of CrMoVNbFe_x high-entropy alloys were investigated by using of XRD, SEM, EDS and microhardness tester. The results reveal that CrMoVNbFe_x alloys exhibited as a solid solution of single bcc phase without Fe, whereas bcc solid solution + intermetallic σ phase was observed with the increase of Fe content. The as-cast alloys show a microstructure with typical casting dendrites. It was found that Mo mainly exist in the dendrite, Fe and Cr concentrated mainly in the interdendritic space and the Nb content in the interdendritic space was slightly higher than that in the dendrite. With the increasing Fe content, the microstructure of alloys is refined and the hardness is enhanced significantly and the maximum hardness value of the CrMoVNbFe_x high-entropy alloys reaches HV950.

KEY WORDS metallic materials, high-entropy alloy, phase structure, microstructure, mechanical property

2004年叶均蔚提出了高熵合金的概念,他指出高熵合金的组成元素 $n \geq 5$,其中每种元素的原子百分数至少大于5%,但不得超过35%。由于元素种类较多并以等摩尔比存在于合金中,从而使合金的混合熵(混乱度)很高,结果获得fcc或bcc单相固溶体结构^[1-3]。独特的结构使高熵合金拥有很多传统合金所不具有的优异特性,如高硬度、高加工硬化、耐高温软化、耐高温氧化、耐腐蚀、高电阻率等特性^[4-7],因此在要求高硬度且耐磨耐温耐蚀的工具、模具、化学领域、舰船的耐蚀高强度材料、涡轮叶片及耐热材料

等领域具有很大的应用潜力^[8]。近年来,高熵合金的研究取得了较大的进展,新的合金系相继提出,如单相fcc结构的CoCrFeNiCu, CoCrFeNiMnCu, CoCrFeNiCuV等,单相bcc结构的CoCrFeNiAl, MnCrFeNiCuAl以及具有fcc + bcc复相结构的CoCrFeNiCuAl_{0.8}, CoCrFeNiCuAlSi等^[9]。研究发现,fcc结构的高熵合金强度较低,硬度不超过300HV,但塑性高,bcc结构合金的硬度可达到600HV以上,但塑性较低,脆性大^[10-12]。对Al_xCoCrFeNi合金的研究发现,随Al含量的增加,合金相由单相的fcc结构固溶体转变为fcc+bcc复相结构和单相bcc结构。合金的硬度由fcc结构的116HV提高到bcc结构的509HV^[11]。O.N. Senkov采用高熔点元素合成了Ta₂₅Nb₂₅W₂₅Mo₂₅和

2015年8月17日收到初稿;2015年11月17日收到修改稿。

本文联系人:黄维刚,教授

DOI: 10.11901/1005.3093.2015.460

Ta₂₀Nb₂₀W₂₀Mo₂₀V₂₀ bcc 结构的合金, 具有超高的硬度和良好的高温强度^[12]。研究发现, 通过不同合金含量的变化来控制组织结构, 并利用单相固溶体基体上析出元素偏聚, 少量的金属间化合物来调控性能^[13-15]。CoCrCuFeNiTi_x 合金在 Ti 含量为 0 mol 时, CoCrCuFeNiTi_x 合金表现出了良好的塑性性能; Ti 含量增加时, 晶界析出金属间化合物, 使合金的强度提高, 但塑性明显下降^[13]。研究发现, 随着 Fe 含量的增加, AlCoCrFe_xMo_{0.5}Ni 合金中的 bcc 相逐渐增多, 而 σ 相 (CoCr 相) 逐渐减少, 合金的硬度值降低, 耐磨性能也随之下降^[14]。对 Cr_xCuFe₂Mo_{0.5}Nb_{0.5}Ni₂ 合金研究发现^[15], Cr 含量的增加, 有利于 Fe、Cr 和 Ni 元素的分布相对均匀, 合金硬度随 Cr 含量的增加而逐渐增加。这些结果表明, 不同合金体系中, 合金化元素和其他组元之间的相互作用不同, 进而对其组织和性能造成不同的影响。

从热力学角度来看, 由于各种合金元素混合后的熵, 焓的改变以及各原子尺寸的差异, 导致合金相结构形成规律的复杂性, 这也给相应的性能控制带来一定的不确定性。一些文献也给出了相应高熵合金相形成的判据, 用来指导合金设计和性能研究^[3, 16, 17]。本文在具有 bcc 结构的 CrMoVNb 合金基础上探讨 Fe 含量的变化对 CrMoVNbFe_x ($x=0, 0.2, 0.4, 0.6, 0.8, 1.0$) 五元高熵合金的相结构, 微观组织及力学性能的影响, 为具有高硬度的 bcc 结构的高熵合金的相组成及力学性能有进一步的了解。

1 实验方法

合金采用高纯 (纯度大于 99.9%) Cr, Mo, V, Nb 和 Fe 作为原料, 在氩气保护下, 利用 WS-4 型非自耗真空熔炼炉熔炼不同 Fe 含量的 CrMoVNbFe_x ($x=0, 0.2, 0.4, 0.6, 0.8, 1.0$) 合金钮扣锭, 每个合金锭重复翻转熔炼 6 次以保证成分均匀。用 DX-2000 型 X 射线衍射仪对合金的相结构进行分析, 靶材选用 Cu 靶 ($\lambda=0.1542$ nm), 工作电压为 40 kV 和 25 mA, 扫描速率为 0.06°/s。试样进行研磨、抛光, 再用王水腐蚀, 采用 JSM-7500F 型扫描电镜、能谱分析仪对合金的微区进行成分分析, 工作电压为 20 kV。试样经抛光后进行显微硬度测试, 设备为 DHV-1000Z 型显微硬度计, 负荷选用 1 kg, 加载时间 15 s, 测量 8 个点求平均值。

2 实验结果与分析

2.1 X 射线衍射分析

图 1 为不同 Fe 含量的 CrMoVNbFe_x 合金的 XRD 图谱。由图所示结果可知, 当 $x=0$ 时, 该合金的 X 射

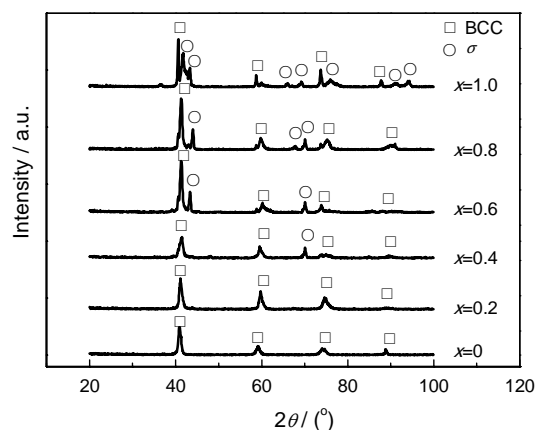


图 1 铸态 CrMoVNbFe_x ($x=0, 0.2, 0.4, 0.6, 0.8, 1.0$) 高熵合金的 X 射线衍射谱

Fig.1 X-ray diffraction spectra of CrMoVNbFe_x high-entropy alloys

线衍射谱在 $2\theta=40.58^\circ, 59.24^\circ, 73.82^\circ, 88.76^\circ$ 的位置存在 4 个清晰的衍射峰, 通过分析, 认为 4 个衍射峰对应于单相 bcc 结构, 这表明 CrMoVNb 四元合金为具有单相 bcc 结构的固溶体。当合金中 Fe 含量为 0.2 mol 时, 即 $x=0.2$, 合金仍呈现单相 bcc 结构固溶体, 而当 Fe 的含量继续增加, 在 XRD 图谱上出现了新的衍射峰, 对衍射峰进行分析认为, 该新的衍射峰为 Fe_{0.55}Nb_{0.67} 相的衍射峰, 说明 Fe 的含量超过 $x=0.2$ 后, CrMoVNbFe_x 合金中出现了 Fe_{0.55}Nb_{0.67} 的 σ 相, 且随 Fe 含量的增加, σ 相的衍射峰逐渐增多增强, 说明生成的 σ 相逐渐增多。由此可知, CrMoVNb 合金中, 随 Fe 的加入, 使合金由 bcc 结构的单相固溶体转变为 bcc 固溶体和 σ 两相组成。

根据之前相关文献的报道, 热力学参数 ΔS_{mix} 、 δ 、 ΔH_{mix} 和 VEC (空位电子浓度) 用于预判合金是否形成固溶体以及固溶体类型^[17]。定义:

$$\Delta S_{\text{mix}} = -R \sum_{i=1}^n c_i \ln c_i \quad (1)$$

$$\delta = \sqrt{\sum_{i=1}^n c_i \left(1 - \frac{r_i}{\bar{r}}\right)^2}, \quad \bar{r} = \sum_{i=1}^n c_i r_i \quad (2)$$

$$\Delta H_{\text{mix}} = \sum_{i=1, j \neq i}^n c_i c_j \Omega_{ij}, \quad \Omega_{ij} = 4 \Delta H_{AB}^{\text{mix}} \quad (3)$$

$$\text{VEC} = \sum_{i=1}^n c_i (\text{VEC})_i \quad (4)$$

式中, c_i , r_i , $(\text{VEC})_i$ 分别为第 i 主元的原子百分比, 原子半径, 空位电子浓度, \bar{r} 为平均原子半径, $\Delta H_{AB}^{\text{mix}}$ 为 AB 两主元的混合焓, ΔH_{mix} , ΔS_{mix} 分别为合金的混合焓和混合熵, δ 为原子尺寸差异。根据上述公式, 可以计算出 CrMoVNbFe_x 高熵合金的 ΔS_{mix} 、 δ 、 ΔH_{mix} 和 VEC 值, 如表 1 所示。

根据 Sheng Guo 等人的研究表明^[3, 17], 当合金的 δ , ΔH_{mix} 和 ΔS_{mix} 满足 $0 < \delta < 8.5$, $-22 \leq \Delta H_{\text{mix}} \leq 7$ kJ/mol, $11 \leq \Delta S_{\text{mix}} \leq 19.5$ J/(K·mol) 则形成单相固溶体; 而当 $\text{VEC} < 6.78$ 时, 合金形成单一 BCC 结构, 当 $\text{VEC} \geq 8.0$ 时, 合金为单一 fcc 结构, 介于 6.78 和 8.0 之间则为 bcc+fcc 结构。本实验中, 当合金不含 Fe 时 $\Delta S_{\text{mix}} = 11.53$ J/(K·mol), $\delta = 4.85$, $\text{VEC} = 5.50$, $\Delta H_{\text{mix}} = -4.00$ kJ/mol, 合金满足形成固溶体的条件, 如图 1 的 XRD 图谱所示。但当 Fe 含量增加时, 合金的参数 δ , ΔH_{mix} 和 ΔS_{mix} 也随之增加, 虽然也满足文献 3 和 17 提出的形成固溶体的条件, 但在 $\delta \geq 5$ 和 $\Delta H_{\text{mix}} \leq -5.00$ kJ/mol 的情况下, 将从固溶体中析出相应的金属间化合物, 形成固溶体与金属间化合物相的混合组织。另外, 根据张勇^[9]提出的高熵合金的 Ω - δ 相形成规律, 在 Fe 含量增加后也会形成部分金属间化合物。也由表 1 中的 δ 和 ΔH_{mix} 的结果可知, 本实验中在 Fe 的含量增加到 0.4 mol 时, 除了 bcc 固溶体相以外, 还会有部分金属间化合物形成。根据表 2, 由于 Fe 与 Nb 有最负的结合焓

表 1 CrMoVNbFe_x 高熵合金的 ΔS_{mix} 、 δ 、 ΔH_{mix} 和 VEC 值
Table 1 The calculated parameters ΔS_{mix} 、 δ 、 ΔH_{mix} and VEC of CrMoVNbFe_x alloys

X	ΔS_{mix}	δ	ΔH_{mix}	VEC
0	11.53	4.85	-4.00	5.50
0.2	12.58	5.06	-4.53	5.62
0.4	13.01	5.17	-4.96	5.73
0.6	13.24	5.22	-5.29	5.83
0.8	13.35	5.32	-5.56	5.92
1.0	13.38	5.42	-6.72	6.00

Notes: ΔS_{mix} : The entropy mixing entropy
 δ : The atomic size difference
 ΔH_{mix} : The chemical mixing enthalpy
VEC: The valence electron concentration

表 2 各元素之间的结合焓
Table 2 The values of $\Delta H_{AB}^{\text{mix}}$ (kJ/mol) calculated by Miedema's model for atomic pairs between elements involved in this paper

Element	Cr	Mo	V	Nb	Fe
	Cr	0	-2	-7	-1
		Mo	0	-6	-2
			V	-1	-7
				Nb	-16

(-16 kJ/mol), 所以 Fe 与 Nb 容易结合, 而形成 Fe_{0.55}Nb_{0.67} 的金属间化合物。

2.2 合金显微组织及能谱分析

图 2 为铸态 CrMoVNbFe_x 高熵合金显微组织的 SEM-BSE 像。由图可见, 合金铸态组织为典型的树枝晶结构, 白亮区域为枝晶部分(A), 灰暗区域为枝晶间(B)。而且随 Fe 含量的增加, 铸态的组织逐渐细化, 枝晶间隙也明显细化, 表明 Fe 在 CrMoVNbFe_x 合金中可起到细化铸态组织的作用。

表 3 为 CrMoVNbFe_x 高熵合金不同区域(如图 2 所标注的 A, B)的能谱测试结果。结果表明, 不含 Fe 的 CrMoVNb 四元合金中, 高熔点元素 Mo 在枝晶间的含量较低, 它主要分布在枝晶内, 而低熔点的 Cr 在枝晶间的含量明显高于枝晶内, 表明 Cr 在凝固过程中向枝晶间富集。Nb 和 V 在枝晶内和枝晶间的含量基本一致, 表明在枝晶内和枝晶间呈均匀分布, 在合金凝固过程中没有发生富集。随着 Fe 含量的增加, Mo 元素的分布没有明显变化, Fe 与 Cr 一样在枝晶间的含量明显高于枝晶内, 因此合金凝固后 Fe 主要分布在枝晶间。实验结果还表明, Fe 的加入使 V 在枝晶间的含量稍低于枝晶内, 而 Nb 在枝晶间的含量则高于枝晶内。造成各元素分布不均匀的现象是因为, 合金从高温液态开始凝固过程中, 高熔点的 Mo 和 Nb 以固溶体形式率先形核并以树枝晶形式长大(即亮白色区域 A), 与此同时, 低熔点的 Cr 和 Fe 则大部分被排挤到剩余液相中去, 随着温度的继续降低, 富含 Cr 和 Fe 的枝晶间区域开始凝固(即灰色区域)。由于 Fe 在枝晶间富集, 根据表 2 可知, Fe-Nb 的结合焓为 -16 kJ/mol, 所以 Fe 倾向于同枝晶间的 Nb 结合, 析出 Fe_{0.55}Nb_{0.67} 的 σ 相, 这也使得枝晶内的 Nb 含量较高。随着合金中 Fe 含量的增加, σ 相也增多。

2.3 Fe 含量对 CrMoVNbFe_x 高熵合金显微硬度的影响

为了研究不同 Fe 含量对合金显微硬度的影响, 对合金的硬度进行了测试, 结果如图 3 所示。由图可以看出, 合金中未加入 Fe 时, 合金的硬度值为 HV641; 随 Fe 含量增加, 合金硬度值逐渐升高, 最高达到 HV950, 因此 Fe 的添加使合金的硬度得到显著提高。合金硬度的提高可能与枝晶内固溶的 Fe 含量增加产生的固溶强化, σ 相的析出以及组织细化造成的强化效应增加有关。

由以上实验结果可知, 在 bcc 结构的 CrMoVNb 四元高熵合金中加入 Fe, 可以显著细化合金的铸态组织。随着 Fe 含量的增加, 合金仍能保持 bcc 固溶体相结构, 同时有金属间化合物 σ 相在枝晶间析出,

chinaXiv:202303.10693v1

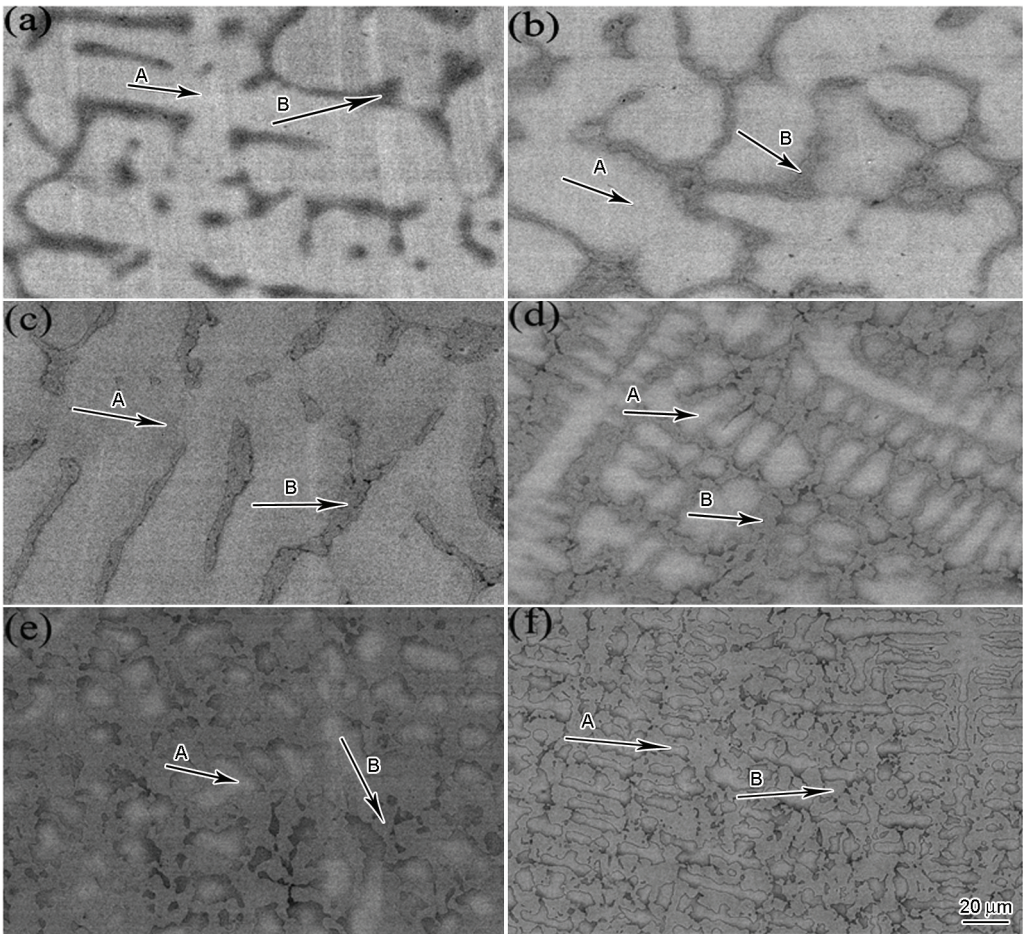


图2 铸态CrMoVNbFe_x高熵合金的背散射电子像

Fig.2 SEM backscattered electron images of the as-cast CrMoVNbFe_x high-entropy alloys (a) $x=0$; (b) $x=0.2$; (c) $x=0.4$; (d) $x=0.6$; (e) $x=0.8$; (f) $x=1.0$

表3 铸态CrMoVNbFe_x ($x=0, 0.2, 0.4, 0.6, 0.8, 1$)合金系中不同显微组织区域的的化学成分

Table 3 Compositions of different microstructure areas in as-cast CrMoVNbFe_x ($x=0, 0.2, 0.4, 0.6, 0.8, 1$) high-entropy alloys

x	Region In fig .2	Atom fraction/%				
		Fe	Cr	Mo	V	Nb
0	Normal	0	25.00	25.00	25.00	25.00
	A	0	23.68	26.49	23.42	26.40
	B	0	40.71	9.37	23.41	26.51
0.2	Normal	4.80	23.80	23.80	23.80	23.80
	A	1.74	20.67	29.82	21.63	26.13
	B	14.29	35.78	3.17	16.70	30.05
0.4	Normal	9.10	22.80	22.70	22.70	22.70
	A	3.46	23.40	24.71	22.34	26.09
	B	15.34	34.82	3.90	16.02	29.84
0.6	Normal	13.04	21.74	21.74	21.74	21.74
	A	4.75	26.70	19.75	23.67	25.13
	B	16.12	34.31	4.37	15.65	29.55
0.8	Normal	16.67	20.83	20.83	20.83	20.83
	A	7.47	23.27	23.49	23.73	22.04
	B	21.48	28.03	5.93	15.74	28.81
1.0	Normal	20.00	20.00	20.00	20.00	20.00
	A	10.10	23.98	22.83	23.22	19.88
	B	25.87	25.38	6.39	15.05	27.31

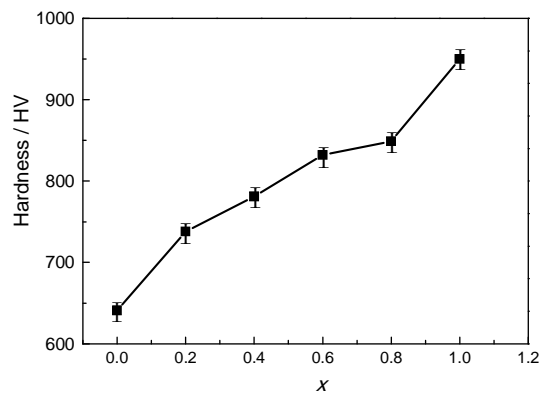


图3 不同Fe含量的CrMoVNbFe_x合金的硬度

Fig.3 Microhardness of CrMoVNbFe_x high-entropy alloys at different Fe contents

结果使合金的硬度有显著提高,最高可达到HV950。

3 结 论

1. 在四元 bcc 晶体结构的 CrMoVNb 合金中,随着 Fe 含量的增加, CrMoVNbFe_x 高熵合金仍能保持 bcc 固溶体相结构,但随 Fe 含量的增加,在 bcc 固溶体中析出金属间化合物 σ 相。

2. 合金的铸态组织为典型的树枝晶状, Cr 和 Fe 主要富集在枝晶间,随 Fe 含量的增加, V 在枝晶间的含量稍低于枝晶内,而 Nb 在枝晶间的富集程度较高, Mo 的分布在枝晶内和枝晶间基本均匀。而且 Fe 的加入使合金的铸态组织显著细化。

3. Fe 可显著提高合金的硬度。硬度随 Fe 含量的增加而增加,最高值达到 HV950。

参 考 文 献

- 1 Yeh Jw, Chen Sk, Lin Sj, Gan Jy, Chin Ts, Shun Tt, Tsau Ch, Chang Sy, Nanostructured high-entropy alloys with multiple principal element: novel alloy design concepts and outcomes, *Adv. Eng. Mater.*, **6**(5), 299(2004)
- 2 T. T. Shun, Y. C. Du, Age hardening of the Al_{0.3}CoCrFeNiC_{0.1} high entropy alloy, *Alloys Compd.*, **478**, 269(2009)
- 3 Sheng Guo, Qiang Hu, Chun Ng, C. T. Liu, More than entropy in high-entropy alloys: forming solid solutions or amorphous phase, *Intermetallics*, **41**, 96(2013)
- 4 J. Y. He, H. Wang, H. L. Huang, X. D. Hu, M. W. Chen, Y. Wu, X. J. Liu, T. G. Nieh, K. An, Z. P. Lu, A precipitation-hardened high-entropy alloy with outstanding tensile properties, *Acta Mater.*, **102**, 187(2016)

- 5 Shin-Tsung Chen, Wei-Yeh Tang, Yen-Fu Kuo, Sheng-Yao Chen, Microstructure and properties of age-hardenable Al_xCrFe_{1.5}MnNi_{0.5} alloys, *Mater. Sci. Eng. A*, **527**, 5818(2010)
- 6 U. Roy, H. Roy, H. Daoud, U. Glatzel, K. K. Ray, Fracture toughness and fracture micromechanism in a cast AlCoCrCuFeNi high entropy alloy system, *Mater Lett.*, **132**, 186(2014)
- 7 O. N. Senkov, J. M. Scott, S. V. Senkova, D. B. Miracle, C. F. Woodward, microstructure and room temperature properties of a high-entropy TaNbHfZrTi alloy, *Alloy. Compd.*, **509**, 6043(2011)
- 8 LIU Yuan, CHEN Min, LI Yanxiang, CHEN Xiang, Microstructure and Mechanical Performance of Al₁CoCrCuFeNi High-entropy Alloys, *Rare metal materials and engineering*, **38**(9), 1602(2009)
(刘 源, 陈 敏, 李言祥, 陈 祥, Al₁CoCrCuFeNi 多主元高熵合金的微观结构和力学性能, *稀有金属材料与工程*, **38**(9), 1602 (2009))
- 9 X. Yang, Y. Zhang, Prediction of high-entropy stabilized solid-solution in multi-component alloys, *Mater. Chem. Phys.*, **132**, 233 (2012)
- 10 N. D. Stepanov, D. G. Shaysultanov, M. A. Tikhonovsky, G. A. Salishchev, Tensile properties of the Cr-Fe-Ni-Mn non-equiatomictmulticomponent alloys with different Cr contents, *Mater. Des.*, **87**, 60 (2015)
- 11 Yih-Farn Kao, Ting-Jie Chen, Swe-Kai Chen, Jien-Wei Yeh, Microstructure and mechanical property of as-cast, homogenized, and deformed Al₁CoCrFeNi (0≤x≤2) high-entropy alloys, *Alloy. Compd.*, **488**, 57(2009)
- 12 O. N. Senkov, G. B. Wilks, J. M. Scott, D. B. Miracle, Mechanical properties of Nb₂₅Mo₂₅Ta₂₅W₂₅ and V₂₀Nb₂₀Mo₂₀Ta₂₀W₂₀ refractory high entropy alloys, *Intermetallics*, **19**, 698(2011)
- 13 Zhang Y, Wang X F, Chen G L, Qiao Y, Effect of Ti on the microstructure and properties of CoCrCuFeNiTi_x high-entropy alloys, *Ann. Chim-Sci. Mat.*, **31**(6), 699(2006)
- 14 Hsc Cy, Sheu Ts, Yeh Jw, Effect of iron content on wear behavior of AlCoCrFe_xMo_{0.5}Ni high-entropy alloys, *Wear*, **268**, 653(2010)
- 15 REN Bo, GUO Peng, ZHAO Ruifeng, TENG Yingyao, GUAN Shaokang, ZHANG Hongsong, Microstructure and Mechanical Performance of Cr_xCuFe₂Mo_{0.5}Nb_{0.5}Ni₂ high-entropy alloys, *Special Casting Machine Nonferrous Metallurgy*, **34**(6), 2249(2014)
(任 波, 郭 鹏, 赵瑞峰, 腾瑛瑶, 关绍康, 张红松, Cr_xCuFe₂Mo_{0.5}Nb_{0.5}Ni₂ 高熵合金的微观组织与力学性能, *特种铸造及有色合金*, **34**(6), 2249(2014))
- 16 Yong Zhang, Ting TingZuo, Zhi Tang, Michael C.Gao, Karin. ADahmen, Peter K. liaw, Zhao ping Lu, Microstructures and properties of high-entropy alloys, *Prog. Mater. Sci.*, **61**, 1(2004)
- 17 Sheng Guo, C.T.Liu, Phase stability in high entropy alloys: 'Formation of solid-solution phase or amorphous phase, *Prog Nat Sci Mater*, **21**(6), 433(2011)